



В. Н. Булатов

### ИМПУЛЬСНАЯ ХАРАКТЕРИСТИКА ФИЛЬТРА ВИДА $SIN(MX)/SIN(X)$

В статье приведены вывод и анализ импульсной характеристики трансформированной дельта-функции для квазинепрерывных периодических сигналов. Получены зависимости между временем переходного процесса и полосой частот синтеза анализируемой временной функции независимо от ее вида.

Для однократной реализации временного процесса – в строгом соответствии с преобразованием Фурье – математическим результатом преобразования из временной области в частотную может быть только спектральная плотность. Очевидно, что без предварительных преобразований выделение гармонических составляющих – в силу малости их амплитуд – невозможно.

Одним из способов преобразования можно рассматривать периодизацию сигнала с некоторым периодом повторения  $T$ , с числом повторений  $m$ , которая позволяет накапливать в достаточной мере энергию в точках  $n\omega = n2\pi f = n2\pi/T$ , где  $n = 1, 2, 3, \dots$ , чтобы произвести аппаратное выделение фазы  $n$ -й составляющей.

Пусть носителем информативного параметра является фазовый спектр непериодического сигнала  $e_1(t)$ , при этом предполагается, что сигнал полностью представлен на конечном интервале времени  $[-\tau/2, \tau/2]$  (рисунок 1, а). Пусть сигнал  $e_1(t)$  имеет спектральную плотность  $S_1(\omega)$ . Пусть имеется последовательность этих сигналов с числом  $m$ , равноотстоящих друг от друга на интервал  $T$  и симметрично расположенной на оси  $t$  (выравненная функция). Поскольку  $m$  может быть как нечетным числом, так и четным, то необходимо рассматривать анализ для обоих случаев формирования указанной последовательности (рисунки 1, б и 1, в).

Для получения спектральной функции конечной периодической последовательности импульсов используем линейные свойства преобразования

Фурье и теорему о смещении в соответствии с рисунком 1.

Для нечетного  $m$  (рисунок 1, б):

$$S(\omega) = S_1(\omega)\exp[+j(m-1)\omega T/2] + S_1(\omega)\exp[+j(m-3)\omega T/2] + \dots + S_1(\omega) + \dots + S_1(\omega)\exp[-j(m-3)\omega T/2] + S_1(\omega)\exp[-j(m-1)\omega T/2].$$

Полученное выражение есть сумма геометрической прогрессии с множителем  $\exp[-j\omega T]$ . Используя известное выражение для суммы геометрической прогрессии, запишем:

$$S(\omega) = S_1 \frac{e^{j(m-1)\omega T/2} - e^{-j(m+1)\omega T/2}}{1 - e^{-j\omega T}} = S_1(\omega) \frac{e^{jm\omega T/2} - e^{-jm\omega T/2}}{e^{j\omega T/2} - e^{-j\omega T/2}}.$$

Используя формулу Эйлера для числителя и знаменателя, запишем окончательное выражение для спектральной плотности выравненной пачки с нечетным числом импульсов:

$$S(\omega) = S_1 \frac{e^{jm\omega T/2} - e^{-jm\omega T/2}}{e^{j\omega T/2} - e^{-j\omega T/2}} = S_1(\omega) \frac{\sin(m\omega T/2)}{\sin(\omega T/2)}.$$

б) Для четного  $m$  спектральную плотность определяем аналогично пункту а) с учетом рисунка 1, в:

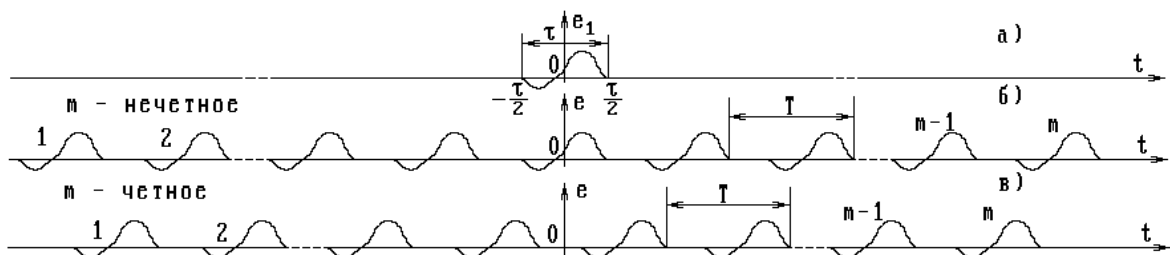


Рисунок 1

$$\begin{aligned}
 S(\omega) &= S_1(\omega)\exp[+j(m/2-1/2)\omega T] + \\
 &+ S_1(\omega)\exp[+j(m/2-1/2)\omega T] + \dots + \\
 &+ S_1(\omega)\exp[+j(1/2)\omega T] + \\
 &+ S_1(\omega)\exp[-j(1/2)\omega T] + \dots + \\
 &+ S_1(\omega)\exp[-j(m/2-1/2)\omega T] + \\
 &+ S_1(\omega)\exp[-j(m/2-1/2)\omega T] = \\
 &= S_1 \frac{e^{j(m-1)\omega T/2} - e^{-j(m+1)\omega T/2}}{1 - e^{-j\omega T}} = \\
 &= S_1(\omega) \frac{\sin(m\omega T/2)}{\sin(\omega T/2)}.
 \end{aligned}$$

Следовательно в аналитическом виде выражение спектральной плотности пачки одинаковых, равноотстоящих друг от друга, импульсов не зависит от четности числа  $m$  импульсов и определяется выражением:

$$S(\omega) = S_1(\omega) \frac{\sin(m\omega T/2)}{\sin(\omega T/2)}, \quad (1)$$

где  $S_1(\omega)$  — спектральная плотность выравненного одиночного импульса.

Очевидно, что именно второй множитель вида  $\sin(mx)/\sin(x)$  отражает динамику временного процесса в какой-либо полосе частот в пределах одной реализации сигнала  $e(t)$ .

Как уже было установлено в [1], указанный множитель в (1) имеет свойства гребенчатого фильтра, который при  $m \rightarrow \infty$  преобразуется в периодическую дельта-функцию в частотной области, причем для четных  $m$  эта функция знакопеременная. Для установления влияния его параметров на переходной процесс определим его импульсную характеристику  $g(t)$ :

$$g(t) = \frac{1}{2\pi} \int_{-\infty}^{\infty} \frac{\sin \frac{m\omega T}{2}}{\sin \frac{\omega T}{2}} e^{j\omega t} d\omega. \quad (2)$$

Для определения  $g(t)$  представим интеграл в выражении (2) в виде:

$$\begin{aligned}
 &\int_{-\infty}^{\infty} \frac{\sin \frac{m\omega T}{2}}{\sin \frac{\omega T}{2}} e^{j\omega t} d\omega = \\
 &= \frac{1}{2j} \left[ \int_{-\infty}^{\infty} \frac{e^{j\omega(t+\frac{mT}{2})}}{\sin \frac{\omega T}{2}} d\omega - \int_{-\infty}^{\infty} \frac{e^{j\omega(t-\frac{mT}{2})}}{\sin \frac{\omega T}{2}} d\omega \right]. \quad (3)
 \end{aligned}$$

Определим импульсную характеристику  $g(t)$  при  $\omega \in [-\infty, \infty]$ . Поскольку подынтегральные функции имеют разрывы (полюсы) при  $\omega_k = \pm 2k\pi T$ , то для определения несобственных интегралов воспользуемся теорией о вычетах [2], для чего введем комплексную переменную  $z = \omega + jY$ . Построим контур интегрирования таким образом (рисунок 2), чтобы функция  $f(z)$  внутри контура была всюду аналитична. При этом особые точки  $z_k = \omega_k$  обойдем полуокружностями  $l_k$  по часовой стрелке.

В соответствии с рисунком 2 и теоремой Коши [2] для левого интеграла в правой части уравнения (3) можно записать:

$$\begin{aligned}
 &\left( \int_{-R}^{-\frac{2k\pi}{T}-r} + \int_{-\frac{2k\pi}{T}+r}^{-\frac{2(k-1)\pi}{T}-r} + \dots + \int_{-\frac{2\pi}{T}+r}^{-r} + \int_r^{\frac{2\pi}{T}-r} + \dots + \int_{\frac{2(k-1)\pi}{T}+r}^{\frac{2k\pi}{T}-r} + \int_{\frac{2k\pi}{T}+r}^R \right) \cdot \\
 &\cdot \frac{e^{j\omega(t+\frac{mT}{2})}}{\sin \frac{\omega T}{2}} d\omega = \\
 &= \sum_{2k+1} \left( \int_{l_k} \frac{e^{jz(t+\frac{mT}{2})}}{\sin \frac{zT}{2}} dz \right) - \int_L \frac{e^{jz(t+\frac{mT}{2})}}{\sin \frac{zT}{2}} dz. \quad (4)
 \end{aligned}$$

Сначала вычислим правый интеграл в выражении (4) при  $R \rightarrow \infty$ , считая при этом, что  $R = |f(z)|$  является множеством, исключаящим  $z_k$ , что не является ограничением  $R$  сверху. В этом случае очевидно,  $|f_1(z)| = 1/|\sin(zT/2)|$  будет бесконечно убывать при  $R \rightarrow \infty$ . Следовательно рассматриваемый случай удовлетворяет условиям леммы Жордана, согласно которой для  $t > (-mT/2)$  можно записать:

$$\lim_{\substack{R \rightarrow \infty \\ z \neq z_k}} \int_L \frac{e^{jz(t+\frac{mT}{2})}}{\sin \frac{zT}{2}} dz = 0. \quad (5)$$

Теперь определимся с суммой определенных интегралов, представленной левой частью уравнения (4). Из рисунка 2 очевидно, что

$$\lim_{\substack{R \rightarrow \infty \\ r \rightarrow 0}} \left( \int_{-R}^{-\frac{2k\pi}{T}-r} + \int_{-\frac{2k\pi}{T}+r}^{-\frac{2(k-1)\pi}{T}-r} + \dots + \int_{-\frac{2\pi}{T}+r}^{-r} + \int_r^{\frac{2\pi}{T}-r} + \dots \right)$$

$$\dots + \int_{\frac{2(k-1)\pi}{T} + r}^{\frac{2k\pi}{T} - r} + \int_{\frac{2k\pi}{T} + r}^R e^{\frac{j\omega(t+\frac{mT}{2})}{\sin \frac{\omega T}{2}}} d\omega = \int_{-\infty}^{\infty} \frac{e^{j\omega(t+\frac{mT}{2})}}{\sin \frac{\omega T}{2}} d\omega, \quad (6)$$

то есть этот предел есть левый интеграл в квадратных скобках (3).

И, наконец, определим сумму  $2k+1$  интегралов в (4) вдоль одинаковых полуокружностей  $l_i$  с радиусом  $r \rightarrow 0$ . При этом объединим вычисления интегралов вдоль симметрично расположенных относительно  $z_0=0$  путей интегрирования  $l_i$  (рисунок 2) и введем замены:

$$z = r \cdot e^{j(\phi \pm \frac{2k\pi}{T})}, k \in Z_p; dz = jre^{j\phi} d\phi, \phi \in [0, \pi].$$

К этому добавим еще одно упрощение:

$$\sin \frac{zT}{2} \approx (-1)^k \frac{zT}{2} \text{ в окрестности } z_k.$$

Для  $t > -mT/2$ :

$$I_{1l_0} = \lim_{r \rightarrow 0} \int_{i0}^{z(t+\frac{mT}{2})} \frac{e^{\frac{z(t+\frac{mT}{2})}{zT}}}{\frac{zT}{2}} dz = \lim_{r \rightarrow 0} \int_0^\pi \frac{e^{jr^{j\phi}(t+\frac{mT}{2})}}{\frac{T}{2} re^{j\phi}} jre^{j\phi} d\phi = j \frac{2\pi}{T};$$

$$I_{1l_1} = \lim_{r \rightarrow 0} \left[ \left( \int_{l_{1L}} + \int_{l_{1R}} \right) e^{\frac{z(t+\frac{mT}{2})}{zT}} dz \right] =$$

$$= \lim_{r \rightarrow 0} \left[ \int_0^\pi \frac{e^{j(r \cdot e^{j\phi} - \frac{2\pi}{T})(t+\frac{mT}{2})}}{\frac{T}{2} re^{j\phi}} jre^{j\phi} d\phi + \right.$$

$$\left. + \int_0^\pi \frac{e^{j(r \cdot e^{j\phi} + \frac{2\pi}{T})(t+\frac{mT}{2})}}{\frac{T}{2} re^{j\phi}} jre^{j\phi} d\phi \right] =$$

$$= -j \frac{4\pi}{T} \cos \frac{2\pi}{T} (t + \frac{mT}{2});$$

$$I_{1l_2} = \lim_{r \rightarrow 0} \left[ \left( \int_{l_{2L}} + \int_{l_{2R}} \right) e^{\frac{z(t+\frac{mT}{2})}{zT}} dz \right] =$$

$$= \lim_{r \rightarrow 0} \left[ \int_0^\pi \frac{e^{j(r \cdot e^{j\phi} - \frac{4\pi}{T})(t+\frac{mT}{2})}}{\frac{T}{2} re^{j\phi}} jre^{j\phi} d\phi + \right.$$

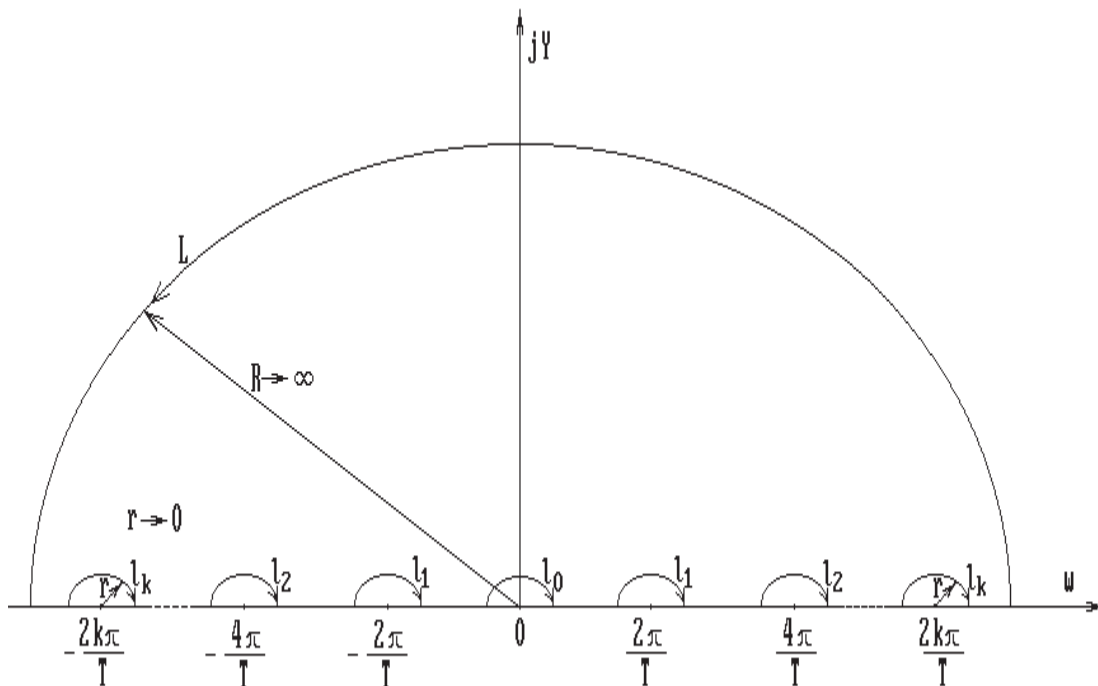


Рисунок 2

$$\left. + \int_0^\pi \frac{e^{j(r \cdot e^{j\phi} + \frac{4\pi}{T})(t + \frac{mT}{2})}}{\frac{T}{2} r e^{j\phi}} j r e^{j\phi} d\phi \right] =$$

$$= j \frac{4\pi}{T} \cos \frac{4\pi}{T} (t + \frac{mT}{2});$$

.....

$$I_{1k} = \lim_{r \rightarrow 0} \left[ \left( \int_{l_{kL}} + \int_{l_{kR}} \right) \frac{e^{z(t + \frac{mT}{2})}}{\frac{zT}{2}} dz \right] =$$

$$= \lim_{r \rightarrow 0} \left[ \int_0^\pi \frac{e^{j(r \cdot e^{j\phi} - \frac{2k\pi}{T})(t + \frac{mT}{2})}}{\frac{T}{2} r e^{j\phi}} j r e^{j\phi} d\phi + \right.$$

$$\left. + \int_0^\pi \frac{e^{j(r \cdot e^{j\phi} + \frac{2k\pi}{T})(t + \frac{mT}{2})}}{\frac{T}{2} r e^{j\phi}} j r e^{j\phi} d\phi \right] =$$

$$= (-1)^k j \frac{4\pi}{T} \cos \frac{2k\pi}{T} (t + \frac{mT}{2}).$$

Для вычисления интегралов  $I_{1li}$  для  $t < -mT/2$  нужно рассмотреть зеркальное [2] относительно оси  $\omega$  представление контура интегрирования. Очевидно, что в соответствии с теоремой Коши в этом случае:

$$I_{1l_0} = -j \frac{2\pi}{T};$$

$$I_{1l_1} = j \frac{4\pi}{T} \cos \frac{2\pi}{T} (t + \frac{mT}{2});$$

$$I_{1l_2} = -j \frac{4\pi}{T} \cos \frac{4\pi}{T} (t + \frac{mT}{2});$$

.....

$$I_{1l_k} = -(-1)^k j \frac{4\pi}{T} \cos \frac{2k\pi}{T} (t + \frac{mT}{2}).$$

С учетом полученных зависимостей для  $I_{1li}$  запишем:

$$\int_{-\infty}^{\infty} \frac{e^{j\omega(t + \frac{mT}{2})}}{\sin \frac{\omega T}{2}} d\omega = \tag{7}$$

$$= \begin{cases} j \frac{2\pi}{T} \left( 1 + \sum_{i=1}^{\infty} (-1)^{i(m+1)} 2 \cos \frac{2i\pi}{T} t \right) & \text{при } t > -\frac{mT}{2}; \\ -j \frac{2\pi}{T} \left( 1 + \sum_{i=1}^{\infty} (-1)^{i(m+1)} 2 \cos \frac{2i\pi}{T} t \right) & \text{при } t < -\frac{mT}{2}. \end{cases}$$

По этой же технологии определяем зависимость для правого интеграла в квадратных скобках правой части уравнения (3). Поскольку подынтегральные выражения суммы интегралов в (3) отличаются только множителем  $(t+mT/2)$  и соответственно  $(t-mT/2)$  в степени при экспоненте, то очевидно, что предыдущие результаты будут справедливы и для этого интеграла, только с заменой множителей:  $(t+mT/2) \rightarrow (t-mT/2)$ :

$$I_{2l_0} = \begin{cases} + j \frac{2\pi}{T} & \text{при } t > \frac{mT}{2}; \\ -j \frac{2\pi}{T} & \text{при } t < \frac{mT}{2}; \end{cases}$$

$$I_{2l_1} = \begin{cases} -j \frac{4\pi}{T} \cos \frac{2\pi}{T} (t - \frac{mT}{2}) & \text{при } t > \frac{mT}{2}; \\ + j \frac{4\pi}{T} \cos \frac{2\pi}{T} (t - \frac{mT}{2}) & \text{при } t < \frac{mT}{2}; \end{cases}$$

$$I_{2l_2} = \begin{cases} + j \frac{4\pi}{T} \cos \frac{4\pi}{T} (t - \frac{mT}{2}) & t > \frac{mT}{2}; \\ -j \frac{4\pi}{T} \cos \frac{4\pi}{T} (t - \frac{mT}{2}) & t < \frac{mT}{2}; \end{cases}$$

.....

$$I_{2l_k} = \begin{cases} (-1)^k j \frac{4\pi}{T} \cos \frac{2k\pi}{T} (t - \frac{mT}{2}); & t > \frac{mT}{2}; \\ -(-1)^k j \frac{4\pi}{T} \cos \frac{2k\pi}{T} (t - \frac{mT}{2}); & t < \frac{mT}{2}; \end{cases}$$

С учетом полученных зависимостей для  $I_{2li}$  и произведенной замены:  $(t+mT/2) \rightarrow (t-mT/2)$  - выражение (4) примет вид:

$$\int_{-\infty}^{\infty} \frac{e^{j\omega(t - \frac{mT}{2})}}{\sin \frac{\omega T}{2}} d\omega = \tag{8}$$

$$g(t) = \begin{cases} j \frac{2\pi}{T} \left( 1 + \sum_{i=1}^{\infty} (-1)^{i(1+m)} 2 \cos \frac{2\pi \cdot i}{T} t \right) & \text{при } t > \frac{mT}{2}; \\ -j \frac{2\pi}{T} \left( 1 + \sum_{i=1}^{\infty} (-1)^{i(1+m)} 2 \cos \frac{2\pi \cdot i}{T} t \right) & \text{при } t < \frac{mT}{2}. \end{cases}$$

Подставляя зависимости (7) и (8) в (3), и далее – в (2), окончательно получим выражение импульсной характеристики  $g(t)$ :

$$g(t) = \quad (9)$$

$$= \begin{cases} \frac{1}{T} \left( 1 + 2 \sum_{i=1}^{\infty} (-1)^{i(1+m)} \cos \frac{2\pi \cdot i}{T} t \right) & \text{при } \frac{mT}{2} > t > -\frac{mT}{2}; \\ 0 & \text{при } |t| > \frac{mT}{2}. \end{cases}$$

Или

$$g(t) = \quad (10)$$

$$= \begin{cases} \frac{1}{T} \sum_{i=-\infty}^{\infty} (-1)^{i(1+m)} e^{j \frac{2\pi}{T} i t} & \text{при } \frac{mT}{2} > t > -\frac{mT}{2}; \\ 0 & \text{при } |t| > \frac{mT}{2}. \end{cases}$$

Из анализа (9) и (10) следует, что импульсная характеристика  $g(t)$  представляет собой нормированные веса гармонических функций, представляющих ортогональную систему на конечном интервале времени  $mT$ , симметрично расположенном на временной оси. Независимость от времени огибающих весовых функций позволяет судить о безынерционности фильтра типа  $\sin(mx)/\sin(x)$  при конечных значениях  $m$ , что, в свою очередь, позволяет сформулировать очень важный вывод о том, что если  $g(t)$  содержит бесконечное число слагаемых нормированных весовых гармонических функций, представляющих собой ортогональную систему, то, независимо от длительности интервала  $mT$ , временные параметры сигнала  $e_1(t)$  на каждом последующем интервале  $T$  будут полностью воспроизводиться.

Пример – пусть задан сигнал

$$e_1(t) = \begin{cases} U_m \cos \left( \frac{2\pi}{T} t + \phi \right) & \text{при } 0 \leq t \leq T, \\ 0 & \text{при } t < 0 \text{ и } t > T. \end{cases}$$

Найдем сигнал  $e(t)$  на выходе фильтра вида  $\sin(mx)/\sin(x)$ :

$$e(t) = \int_{-\infty}^t e_1(x) g(t-x) dx = \int_0^T e_1(t-x) g(x) dx =$$

$$= \int_0^T U_m \cos \left( \frac{2\pi}{T} (t-x) + \phi \right) dx =$$

$$\cdot \left[ \frac{1}{T} \left( 1 + 2 \sum_{i=1}^{\infty} (-1)^{i(1+m)} \cos \frac{2\pi \cdot i}{T} x \right) \right] dx =$$

$$= \frac{U_m}{T} \cos \left( \frac{2\pi}{T} t + \phi \right) \int_0^T \cos \frac{2\pi}{T} x \cdot$$

$$\cdot \left( 1 + 2 \sum_{i=1}^{\infty} (-1)^{i(1+m)} \cos \frac{2\pi \cdot i}{T} x \right) dx +$$

$$+ \frac{U_m}{T} \sin \left( \frac{2\pi}{T} t + \phi \right) \int_0^T \sin \frac{2\pi}{T} x \cdot$$

$$\cdot \left( 1 + 2 \sum_{i=1}^{\infty} (-1)^{i(1+m)} \cos \frac{2\pi \cdot i}{T} x \right) dx =$$

$$= \frac{U_m}{T} \cos \left( \frac{2\pi}{T} t + \phi \right) \int_0^T \frac{1}{2} 2(-1)^{1+m} dx + 0 =$$

$$= (-1)^{1+m} U_m \cos \left( \frac{2\pi}{T} t + \phi \right) \Big|_{\frac{mT}{2} > t > -\frac{mT}{2}}.$$

Как и следовало ожидать, переходной процесс как таковой отсутствует и огибающая гармонического колебания прямоугольна. Меняется в зависимости от  $m$  только фаза колебаний на величину  $\pm\pi$ , что соответствует положениям и выводам, изложенным в [1] для частотной области.

С точки зрения практики интерес представляет случай выделения на определенном интервале (сечении) времени узкополосного сигнала в области частот  $\omega_k = \pm 2k\pi/T$ , который, строго говоря, нельзя назвать непрерывным гармоническим сигналом из-за размытости соответствующей спектральной составляющей. Для анализа переходных процессов в узкополосной системе и определения функциональной связи с размытостью спектральных линий (чистотой спектральных линий) определим импульсную характеристику  $g(t)$  фильтра типа  $\sin(mx)/\sin(x)$  в полосе частот  $\omega \in [\omega_k - \Omega_1, \omega_k + \Omega_1]$ , где  $\omega_k = 2\pi k/T$ ,  $\Omega_1 \ll \omega_k$  (рисунок 3), причем за пределами этой полосы частот будем считать, что  $|\sin(mx)/\sin(x)| = 0$ .

С учетом введенных ограничений по полосе пропускания импульсная характеристика будет определяться таким выражением:

$$g(t) = \frac{1}{2\pi} \int_{-\frac{2k\pi}{T}-\Omega_1}^{-\frac{2k\pi}{T}+\Omega_1} \frac{\sin \frac{m\omega T}{2}}{\sin \frac{\omega T}{2}} e^{j\omega t} d\omega + \frac{1}{2\pi} \int_{\frac{2k\pi}{T}-\Omega_1}^{\frac{2k\pi}{T}+\Omega_1} \frac{\sin \frac{m\omega T}{2}}{\sin \frac{\omega T}{2}} e^{j\omega t} d\omega \quad (11)$$

$$= (-1)^{k(1+m)} \frac{1}{2\pi} \left[ \int_{-\Omega_1}^{\Omega_1} \frac{\sin \frac{m\Omega T}{2}}{\sin \frac{\Omega T}{2}} e^{-j\frac{2k\pi}{T}t} e^{-j\Omega t} d\Omega + \int_{-\Omega_1}^{\Omega_1} \frac{\sin \frac{m\Omega T}{2}}{\sin \frac{\Omega T}{2}} e^{j\frac{2k\pi}{T}t} e^{j\Omega t} d\Omega \right] \approx$$

$$\approx (-1)^{k(1+m)} \frac{1}{2\pi T} \times$$

Поскольку сигнал узкополосный, то удобнее ввести переменную расстройки  $\Omega$ . Для положительных значений частоты:  $\omega=2k\pi/T+\Omega$ , для отрицательных:  $\omega=-2k\pi/T-\Omega$ ,  $d\omega=d\Omega$ . Тогда выражение (11) примет вид:

$$g(t) = \frac{1}{2\pi} \left[ \int_{-\Omega_1}^{\Omega_1} \frac{\sin \frac{mT}{2} \left( -\frac{2k\pi}{T} - \Omega \right)}{\sin \frac{T}{2} \left( -\frac{2k\pi}{T} - \Omega \right)} e^{-j \left( \frac{2k\pi}{T} + \Omega \right) t} d\Omega + \int_{-\Omega_1}^{\Omega_1} \frac{\sin \frac{mT}{2} \left( \frac{2k\pi}{T} + \Omega \right)}{\sin \frac{T}{2} \left( \frac{2k\pi}{T} + \Omega \right)} e^{j \left( \frac{2k\pi}{T} + \Omega \right) t} d\Omega \right] =$$

$$\times \left[ e^{-j\frac{2k\pi}{T}t} \left( \int_{-\Omega_1}^{\Omega_1} \frac{\sin \left( \frac{mT}{2} - t \right) \Omega + \sin \left( \frac{mT}{2} + t \right) \Omega}{\Omega} d\Omega - \int_{-\Omega_1}^{\Omega_1} \frac{\cos \left( \frac{mT}{2} - t \right) \Omega - \cos \left( \frac{mT}{2} + t \right) \Omega}{\Omega} d\Omega \right) + \right.$$

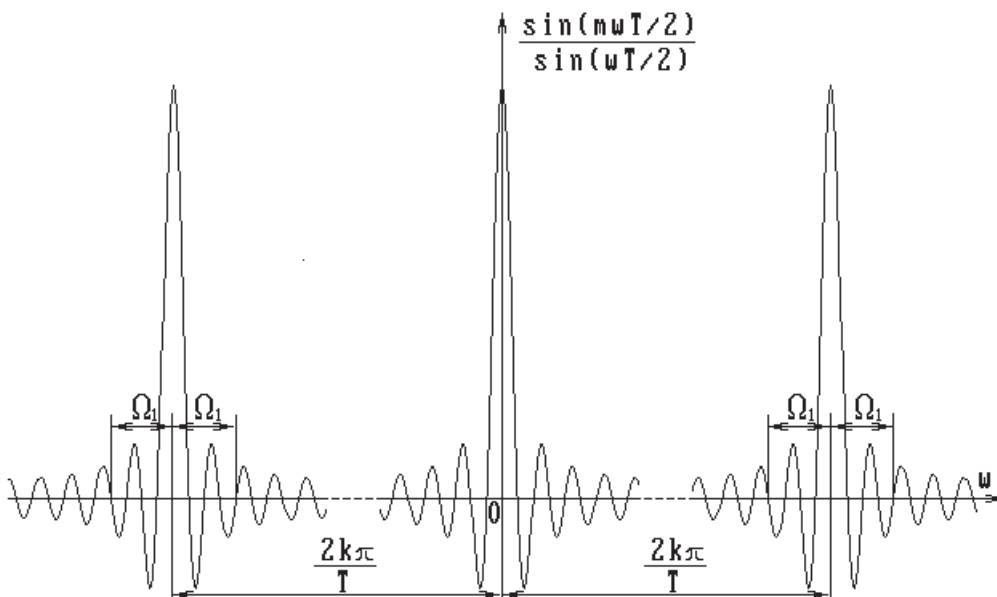


Рисунок 3

$$\begin{aligned}
 &+ e^{j\frac{2k\pi}{T}t} \left[ \int_{-\Omega_1}^{\Omega_1} \frac{\sin\left(\frac{mT}{2}-t\right)\Omega + \sin\left(\frac{mT}{2}+t\right)\Omega}{\Omega} d\Omega + \right. \\
 &\left. + \int_{-\Omega_1}^{\Omega_1} \frac{\cos\left(\frac{mT}{2}-t\right)\Omega - \cos\left(\frac{mT}{2}+t\right)\Omega}{\Omega} d\Omega \right]. \quad (12)
 \end{aligned}$$

Вторые интегралы во внутренних скобках выражения (12) – в силу нечетности функции суммы слагаемых подынтегральных функций и симметричности пределов – равны нулю. Тогда, с учетом четности функции суммы слагаемых подынтегральных функций первых интегралов во внутренних скобках (12), можно записать:

$$\begin{aligned}
 g(t) = &(-1)^{k(1+m)} \frac{2}{\pi T} \left( Si\left[\left(t + \frac{mT}{2}\right)\Omega_1\right] - \right. \\
 &\left. - Si\left[\left(t - \frac{mT}{2}\right)\Omega_1\right] \right) \cos \frac{2k\pi}{T} t. \quad (13)
 \end{aligned}$$

Таким образом, получено выражение в общем виде для импульсной характеристики  $g(t)$  узкополосного сигнала с условиями фильтрации, описанными выше. Из анализа (13) можно сделать вывод, что множитель перед весовой функцией  $\cos(2k\pi t/T)/T$  отображает характер ее огибающей.

Обозначим функцию огибающей импульсной характеристики  $g(t)$  через  $g_A(t)$ :

$$\begin{aligned}
 g_A(t) = &\frac{2}{\pi} \left[ \int_0^{\Omega_1} \frac{\sin\left(t + \frac{mT}{2}\right)\Omega}{\Omega} d\Omega - \right. \\
 &\left. - \int_0^{\Omega_1} \frac{\sin\left(t - \frac{mT}{2}\right)\Omega}{\Omega} d\Omega \right]. \quad (14)
 \end{aligned}$$

Общий характер огибающей  $g_A(t)$  представлен на рисунке 4.

Для определения времени установления переходного процесса предлагается в качестве величины, характеризующей это время, взять время фронта. В выражении (14) первый интеграл представляет время переднего фронта, второй – заднего. Поскольку они идентичны, то передний и задний фронты должны быть одинаковы, и для опре-

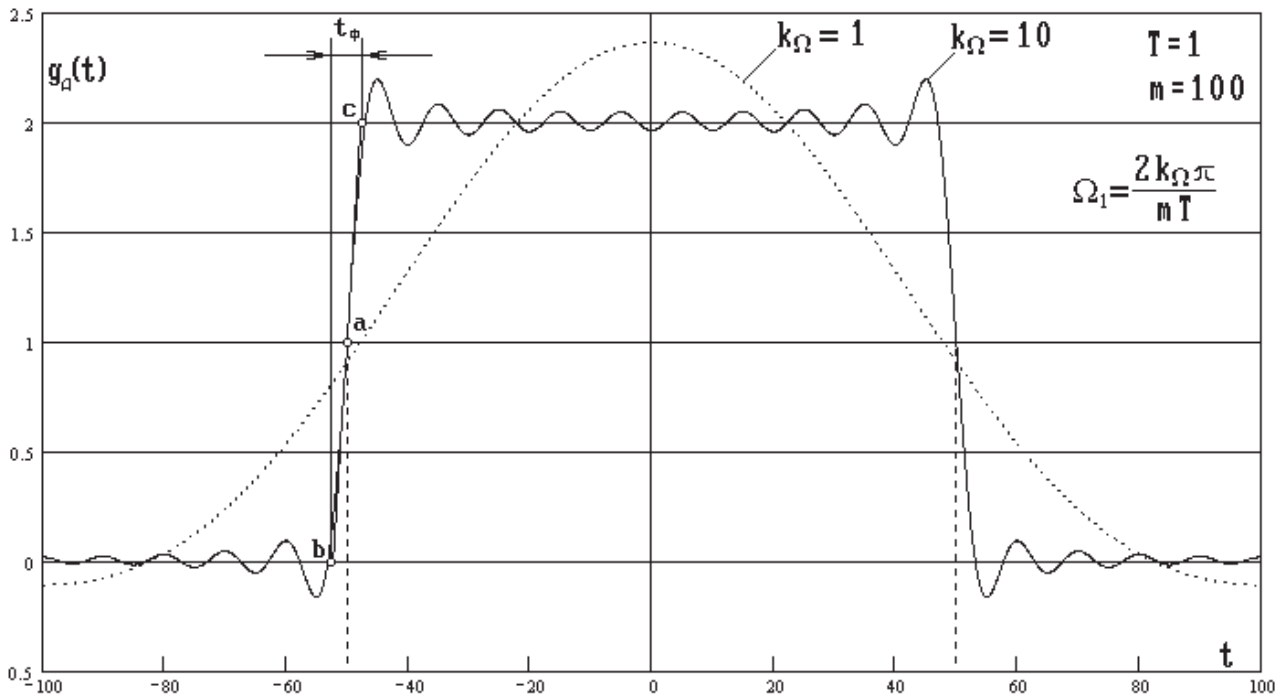


Рисунок 4. Огибающая импульсной характеристики  $g_A(t)$ .

деления фронтов достаточно определить, допустим, передний. Методика определения величины фронта  $t_\phi$  переходного процесса предлагается следующая.

В области **a** (рисунок 4) при  $t \rightarrow -mT/2$  можно считать, что в силу малости аргумента при функции  $\sin$ :

$$\begin{aligned} \frac{2}{\pi} \int_0^{\Omega_1} \frac{\sin(t + \frac{mT}{2})\Omega}{\Omega} d\Omega &\approx \frac{2(t + \frac{mT}{2})\Omega_1}{\pi} \int_0^{\Omega_1} \frac{\Omega}{\Omega} d\Omega \approx \\ &\approx \frac{2}{\pi} (t + \frac{mT}{2})\Omega_1. \end{aligned} \quad (15)$$

Из анализа (9) следует, что для широкополосной системы (предельный случай) амплитуда огибающей одной нормированной весовой гармонической функции равна 2. На основании этого заключения принимаем в качестве фронта прямую, проходящую через точки **b**, **a**, **c** (рисунок 4), где точка **b** соответствует  $g_{Amin} = 0$ , точка **c** соответствует  $g_{Amax} = 2$  – установившемуся значению в широкополосной системе. Наклон прямой **bac** с учетом (15) определяем следующим образом:

$$\left. \frac{dg_A(t)}{dt} \right|_{t=a} = \frac{d}{dt} \left[ (t + \frac{mT}{2}) \frac{2\Omega_1}{\pi} \right]_{t=-mT/2} = \frac{2\Omega_1}{\pi}. \quad (16)$$

Чтобы установить зависимость временных характеристик процесса с параметром размытости спектральной составляющей, привяжем зависимость  $\Omega_1$  к нулям функции вида  $\sin(mx)/\sin(x)$  (рисунок 3):

$$\Omega_1 = 2k\Omega\pi/(mT), \quad (17)$$

где  $k\Omega \in N_p$  ( $N_p$  – множество натуральных положительных чисел).

Тогда

$$\frac{dg_A}{dt} = \frac{4k\Omega\pi}{mT\pi} = \frac{4k\Omega}{mT}, \quad (18)$$

Теперь с учетом (17) и (18) определяем величину  $t_\phi$ :

$$t_\phi = \frac{g_{Amax} - g_{Amin}}{\frac{dg_A(t)}{dt}} = \frac{2mT}{4k\Omega} = \frac{mT}{2k\Omega}. \quad (19)$$

Таким образом, получена зависимость длительности переходного процесса в зависимости от параметра  $k\Omega$ , характеризующего чистоту спектральной линии. Кроме этого, всегда выполняется:  $t_\phi = 2\pi/2\Omega$ , откуда следует:

$$t_\phi \Omega_1 = \pi = \text{const}. \quad (20)$$

На основании полученных результатов исследования (в частности, на основании (13), (19), (20) и рассмотренного примера), можно сделать очень важное заключение о том, что если трансформировать информативную фазу выделяемого узкополосного сигнала в точки пересечения его через ноль, то теоретически информация будет истинной, начиная с первой точки пересечения через ноль – независимо от вида огибающей переходного процесса; фактически же неинформативная начальная часть переходного процесса будет определяться уровнем шумов на входе узкополосной системы и выбранной величиной  $k\Omega$ .

#### Список использованной литературы:

1. Булатов В.Н. Анализ спектра однократной реализации недетерминированного сигнала // Научные основы высоких технологий: Сб. науч. тр. Международной научно-технической конф.; В 6-и т. – Новосибирск, 1997. – Т.2. – С. 134 – 138.
2. Бугров Я.С., Никольский С.М. Высшая математика. Дифференциальные уравнения. Ряды. Функции комплексного переменного. – М.: Наука. Гл. ред физ.мат. лит., 1985. – 464 с.: ил.